

## Влияние неупругого сопротивления на вибродиагностические параметры наличия закрывающейся трещины в упругом теле при супергармоническом резонансе

В. В. Матвеев, О. Е. Богинич

Институт проблем прочности им. Г. С. Писаренко НАН Украины, Киев, Украина

*Рассмотрены методы приближенного определения вибродиагностических параметров наличия закрывающейся трещины усталости нормального отрыва в упругом теле с учетом различных видов неупругого сопротивления при супергармоническом резонансе 2-го порядка.*

**Ключевые слова:** колебания нелинейных систем, вибродиагностика усталостного повреждения, закрывающаяся трещина, супергармонический резонанс, виды неупругого сопротивления.

**Введение.** Анализ известных литературных источников свидетельствует о продолжающемся интересе к изучению влияния трещин усталости на параметры колебаний упругих тел, на основе которого разрабатываются методы вибродиагностики наличия таких повреждений [1–3]. Весомое место в исследованиях занимают вопросы, связанные с определением параметров спектра колебаний упругого тела с закрывающейся трещиной усталости нормального отрыва в области суб- и супергармонического резонансов. Однако как при аналитических, так и численных решениях этих задач, как правило, рассматриваются модели упругих тел с линейным вязким трением. Проведенный ранее [2] анализ колебаний одномассовой модели упругого тела с закрывающейся трещиной в области субгармонического резонанса показал существенное влияние вида неупругого сопротивления на вибродиагностические параметры наличия трещины. Поэтому цель данного исследования заключается в определении возможного влияния вида неупругого сопротивления на вибродиагностические параметры наличия в упругом теле закрывающейся трещины при супергармоническом резонансе 2-го порядка с помощью простых аналитических методов решения для случая системы с линейным вязким трением [4] при некотором уточнении их результатов.

**Исходные расчетные зависимости.** В работах [4, 5] для относительно малых размеров трещины упругое тело при данной резонирующей форме его колебаний представлено системой с одной степенью свободы с билинейной характеристикой восстанавливающей силы, вынужденные колебания которой при гармоническом возбуждении в зоне резонанса описываются уравнением вида

$$\frac{d^2u}{dt^2} + f\left(u, \frac{du}{dt}\right) + \omega^2[1 - 0,5\alpha(1 + \text{sign } u)]u = q \sin vt \quad (1)$$

при функции неупругого сопротивления

$$f\left(u, \frac{du}{dt}\right) = 2h \frac{du}{dt}. \quad (2)$$

Здесь  $\omega$  – собственная частота колебаний неповрежденного тела, или тела с закрытой трещиной;  $h$  – коэффициент вязкого трения;  $\alpha$  – относительное изменение жесткости или квадрата собственной частоты упругого тела при открытии трещины,

$$\alpha = 1 - \left( \frac{\omega_T}{\omega} \right)^2, \quad (3)$$

где  $\omega_T$  – собственная частота тела при открытой трещине; собственная частота колебаний упругого тела с закрывающейся трещиной определяется по формуле

$$\omega_0 = \frac{2\omega\omega_T}{\omega + \omega_T} = \frac{2\sqrt{1-\alpha}}{1+\sqrt{1-\alpha}} \omega \approx \sqrt{1-0,5\alpha}\omega. \quad (4)$$

Рассматривается супергармонический резонанс 2-го порядка при  $\nu = 1/2\omega_0$ .

Исходя из принятого положения, что при супергармоническом резонансе кроме основной гармоники вынужденных колебаний  $A_1 \sin(\nu t - \gamma_1)$  возникают колебания со спектром гармонических составляющих свободных колебаний, из которых вследствие пренебрежимо малых амплитуд высших гармоник в конечном итоге учитывается только основная резонирующая гармоника  $A_2 \sin(2\nu t - \gamma_2)$ , решение уравнения (1) отыскивается в виде

$$u(t) = A_0 + A_1 \sin(\nu t - \gamma_1) + A_2 \sin(2\nu t - \gamma_2). \quad (5)$$

Для нахождения характерного вибродиагностического параметра наличия закрывающейся трещины  $\bar{A}_2 = A_2/A_1$  был использован простой прямой способ удовлетворения уравнения (1) решению (5) в моменты известного значения восстанавливающей силы.

При этом рассматриваются вынужденные колебания в области слабого ( $A_2 < A_1$ ) и сильного ( $A_2 > A_1$ ) резонансов.

В первом случае уравнение (1) удовлетворяется на каждом полуцикле первой гармоники в моменты времени [4]

$$\begin{aligned} t'_1 &= \frac{\beta + \gamma_1}{\nu}; & t''_1 &= \frac{\pi - (\beta - \gamma_1)}{\nu}; \\ t'_2 &= \frac{\pi + (\beta + \gamma_1)}{\nu}; & t''_2 &= \frac{2\pi - (\beta - \gamma_1)}{\nu}. \end{aligned}$$

Используется одно значение  $\beta$ , выбираемое в интервале  $0 < \beta < \pi/2$ , и принимается, что в уравнении (1)  $\text{sign } u \equiv \text{sign} [\sin(\nu t'_{1,2} - \gamma_1); \sin(\nu t''_{1,2} - \gamma_1)]$ .

Подставив для выбранных моментов времени решение (5) в (1), получим систему четырех исходных уравнений (1'), (1''), (2'), (2''), обозначаемых в соответствии с индексом указанных моментов времени.

В результате почленного алгебраического суммирования уравнений [(1') - (1'')] - [(2') - (2'')] имеем

$$-\alpha \sin 2\beta \cos \Delta\gamma A_2 + 4h \frac{\nu}{\omega^2} A_1 \cos \beta = 2 \frac{q}{\omega^2} \cos \beta \sin \gamma_1.$$

Заменяя тригонометрические функции угла  $\beta$  их средними значениями на интервале его изменения от 0 до  $\pi/2$  и определяя  $\sin \gamma_1$  из условия баланса подводимой энергии по первой гармонике и поглощаемой энергии по первой и второй гармоникам

$$\pi q A_1 \sin \gamma_1 = 2\pi h \nu (1 + 4\bar{A}_2^2) A_1^2, \quad (6)$$

найдем

$$\bar{A}_2 = \frac{\alpha \omega^2}{16h\nu} \cos \Delta\gamma, \quad (7)$$

где  $\Delta\gamma = \gamma_2 - 2\gamma_1$  определяется из алгебраической суммы уравнений  $[(1') - (1'')] + [(2') - (2'')]$

$$\Delta\gamma = \arctg \frac{2 - \alpha - 8(\nu/\omega)^2}{8h(\nu/\omega^2)}.$$

Анализ значений  $\Delta\gamma$  при рассматриваемом слабом резонансе ( $\bar{A}_2 < 1$ ) показывает, что  $\cos \Delta\gamma \approx 1$ . Следует заметить, что в формуле (6) коэффициент вязкого трения  $h$  определяет демпфирование колебаний по второй, резонирующей гармонике с частотой  $\omega_0$ , и его значение удобно выразить через логарифмический декремент свободных колебаний  $\delta$  с помощью соотношения

$$\frac{h}{\omega} \frac{\omega_0}{\omega} = \frac{\delta}{2\pi}. \quad (8)$$

Тогда для настроенного слабого супергармонического резонанса  $\left(\nu = \frac{1}{2}\omega_0\right)$  получим простую формулу для определения вибродиагностического параметра

$$\bar{A}_2 \approx 0,785 \frac{\alpha}{\delta}. \quad (9)$$

В случае сильного резонанса ( $\bar{A}_2 > 1$ ) уравнение (1) удовлетворяется на каждом полупериоде резонирующей, т.е. второй, гармоники в моменты времени [5]

$$\begin{aligned} t_1' &= \frac{\beta + \gamma_2}{2\nu}; & t_1'' &= \frac{\pi - \beta + \gamma_2}{2\nu}; & t_2' &= \frac{\pi + \beta + \gamma_2}{2\nu}; & t_2'' &= \frac{2\pi - \beta + \gamma_2}{2\nu}; \\ t_3' &= \frac{2\pi + \beta + \gamma_2}{2\nu}; & t_3'' &= \frac{3\pi - \beta + \gamma_2}{2\nu}; & t_4' &= \frac{3\pi + \beta + \gamma_2}{2\nu}; & t_4'' &= \frac{4\pi - \beta + \gamma_2}{2\nu} \end{aligned}$$

на периоде  $T = 2\pi/\nu$  при одном значении  $\beta$  в интервале  $0 < \beta < \pi/2$  и  $\text{sign } u \equiv \text{sign} [\sin(\nu t_{1,2,3,4}' - \gamma_2); \sin(\nu t_{1,2,3,4}'' - \gamma_2)]$ . В итоге имеем восемь исходных уравнений (1'), (1''), (2'), (2''), (3'), (3''), (4'), (4'') [5].

Из рассмотрения алгебраических сумм уравнений

$$\{[(1') + (4'')] - [(1'') + (4')]\} + \{[(2') + (3'')] - [(2'') + (3')]\}$$

и

$$\{[(1') - (4'')] - [(1'') - (4')]\} - \{[(2') - (3'')] - [(2'') - (3')]\}$$

при настроенном резонансе  $\left(\nu = \frac{1}{2}\omega_0\right)$  соответственно получим

$$\left[ \left(2 - \alpha - \frac{1}{2} \left(\frac{\omega_0}{\omega}\right)^2 \right) \sin \Delta\gamma + \left( \alpha + 2h \frac{\omega_0}{\omega^2} \right) \cos \Delta\gamma = \frac{2q_0}{\omega^2 A_1} \sin \frac{\gamma_2}{2}; \quad (10a)$$

$$\left[ (2 - \alpha) - \frac{1}{2} \left( \frac{\omega_0}{\omega} \right)^2 \right] \cos \Delta\gamma + \left( \alpha - 2h \frac{\omega_0}{\omega^2} \right) \sin \Delta\gamma = \frac{2q_0}{\omega^2 A_1} \cos \frac{\gamma_2}{2}, \quad (106)$$

где  $\Delta\gamma = \frac{\gamma_2}{2} - \gamma_1$ .

Используя для тригонометрических функций правой части соотношение  $\frac{\gamma_2}{2} = \Delta\gamma + \gamma_1$  и определяя  $\sin \gamma_1$  из условия (6) при принятии с достаточным приближением  $\cos \gamma_1 \approx 1$ , найдем выражение для основного вибродиагностического параметра

$$\bar{A}_2 = \frac{\alpha \omega^2}{8h\omega_0} \cos 2\Delta\gamma, \quad (11)$$

где

$$\cos 2\Delta\gamma = \sqrt{1 - \left( 1 - \frac{0,5}{\alpha} \left[ 1 - \left( \frac{\omega_0}{\omega} \right)^2 \right] \right)^2}. \quad (12)$$

При этом, поскольку коэффициент вязкого трения  $h$  в формуле (11), как и в (7), определяет демпфирование колебаний по резонирующей гармонике, используем также соотношение (8).

Анализ формулы (11) в интервале приемлемых значений  $\alpha = 0,001 \dots 0,3$  показывает, что отклонение  $\cos \Delta\gamma$  от величины 0,6783, соответствующей среднему значению  $\alpha = 0,15$ , не превышает  $\pm 3\%$ , и для практических расчетов можно принять

$$\bar{A}_2 \approx 0,725 \sqrt{\frac{\alpha}{\delta}}. \quad (13)$$

Таким образом, полученные приближенные решения для существенно нелинейной системы определяют весьма простые зависимости вибродиагностического параметра наличия в упругом теле закрывающейся трещины от отношения характерных параметров нелинейности  $\alpha$  и демпфирующей способности  $\delta$  колебательной системы. При этом четко выявляется различие в характере зависимости  $\bar{A}_2(\alpha/\delta)$  при слабом (9) и сильном (13) супергармоническом резонансе. Здесь необходимо заметить, что для отношения  $\alpha/\delta$  должно быть ограничение по значению параметра  $\alpha \leq 0,3$ . Это обусловлено тем, что используемое моделирование упругого тела системой с одной степенью свободы предполагает наличие относительно малых трещин, позволяющих пренебречь некоторым различием между собственными формами колебаний на полуциклах деформирования тела с закрытой и открытой трещиной.

Амплитуда основных вынужденных колебаний  $A_1$  как при слабом, так и сильном резонансах определяется с достаточным приближением из рассмотрения колебаний линеаризованной системы с собственной частотой  $\omega_0$  при частоте возбуждения  $\nu = \frac{1}{2} \omega_0$ :

$$A_1 \approx \frac{4q}{3\omega_0^2}. \quad (14)$$

Прежде чем перейти к анализу влияния различных видов неупругого сопротивления на вибродиагностические параметры, оценим достоверность полученных

зависимостей (9), (13) и формулы (14) на примере системы с вязким трением при  $h = 0,0016 \text{ с}^{-1}$  (соответственно  $\delta \approx 0,01$ ),  $\omega = 1 \text{ с}^{-1}$  и  $q = 1 \text{ мм/с}^2$ . Результаты расчета сравним с данными численного решения уравнения (1), выполненного с использованием метода Рунге-Кутты [6] с последующим преобразованием Фурье.

На рис. 1 представлены искомые зависимости  $A_1$  и  $\bar{A}_2$  от параметра  $\alpha$  для случая слабого резонанса. Как видно, расчетное значение амплитуды первой, основной гармоники вынужденных колебаний (14) хорошо согласуется с данными численного решения, но для вибродиагностического параметра (9) наблюдается заметное расхождение, возрастающее с увеличением  $\alpha$ . Это обусловлено тем, что с приближением значения  $\bar{A}_2$  к единице, т.е.  $A_2$  к  $A_1$ , все более уязвимо принятое для определения билинейной восстанавливающей силы допущение  $\text{sign } u \equiv \text{sign} [\sin(\nu t'_{1,2} - \gamma_1); \sin(\nu t''_{1,2} - \gamma_1)]$ , так как изменение знака суммарного перемещения за период первой гармоники будет определяться еще и изменением знака перемещения второй гармоники (рис. 2). Корректировка в формуле (9) коэффициента пропорциональности на 0,58, т.е.

$$\bar{A}_2 \approx 0,58 \frac{\alpha}{\delta}, \tag{15}$$

дает хорошее согласование результатов для  $\bar{A}_2 \leq 0,9$ . При этом условии  $\bar{A}_2 \leq 0,9$  определяет диапазон значений отношения  $\alpha/\delta \leq 1,56$  для разной величины  $\delta$  при отмеченном ранее ограничении  $\alpha < 0,3$ .

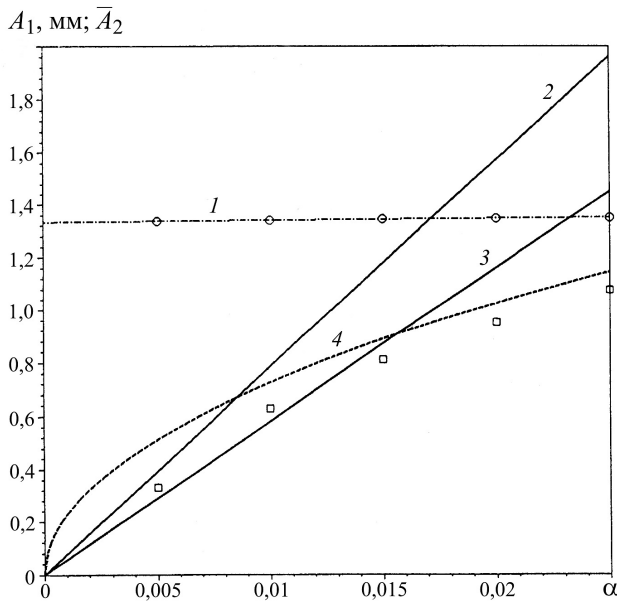


Рис. 1. Зависимость амплитуды первой гармоники  $A_1$  и относительной амплитуды резонирующей гармоники  $\bar{A}_2$  от параметра  $\alpha$ , рассчитанная при  $\omega = 1 \text{ с}^{-1}$ ,  $q = 1 \text{ мм/с}^2$ ,  $\delta = 0,01$  по формулам (14) – кривая 1, (9) – кривая 2, (15) – кривая 3 и (13) – кривая 4. (Здесь и на рис. 3 и 4: точки – данные численного решения уравнения (1).)

Для сильного резонанса ( $\bar{A}_2 > 1$ ) наблюдается иная картина. В качестве примера на рис. 3 представлены зависимости параметра  $\bar{A}_2$  и амплитуд первой  $A_1$  и резонирующей  $A_2 = \bar{A}_2 A_1$  гармоник от  $\alpha$ , полученные путем расчета и по данным численного решения. Как видно, имеет место полное соответствие результатов. Более

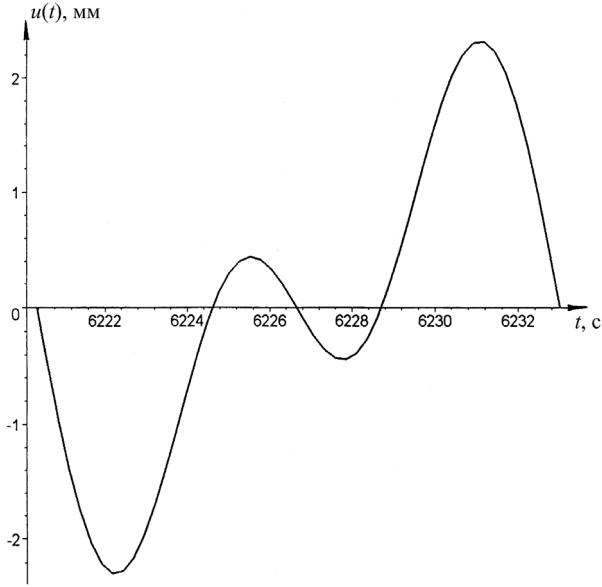


Рис. 2. Форма цикла установившихся колебаний при супергармоническом резонансе ( $\bar{A}_2 = 0,953$ ).

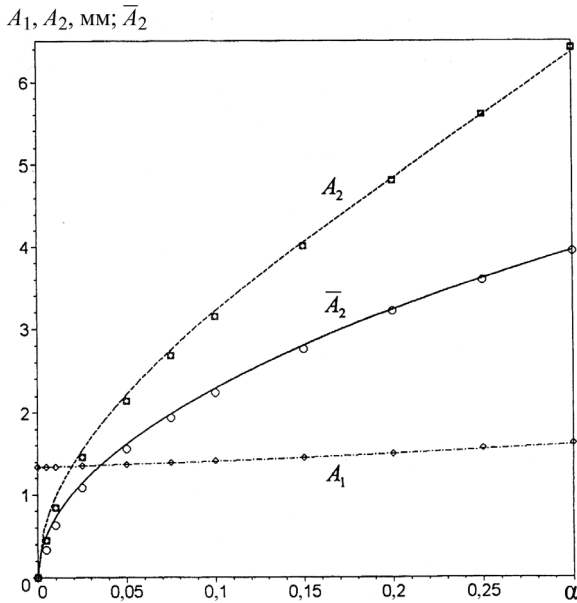


Рис. 3. Зависимость амплитуды первой гармоники  $A_1$ , абсолютной  $A_2$  и относительной  $\bar{A}_2$  амплитуды резонирующей гармоники от параметра  $\alpha$ , рассчитанная при  $\omega = 1 \text{ с}^{-1}$ ,  $q = 1 \text{ мм/с}^2$ ,  $\delta = 0,01$ .

того, по формуле (13) получено лучшее согласование с численным решением и в области слабого резонанса для  $0,9 < \bar{A}_2 \leq 1$ , т.е. при  $\alpha/\delta \geq 1,6$  (на рис. 1 расчетная зависимость по формуле (13) показана штриховой линией). Численные решения практически подтвердили также независимость диагностического параметра  $\bar{A}_2$  от уровня возбуждающей нагрузки и абсолютных значений  $\alpha$  и  $\delta$  при сохранении их отношения.

**Влияние вида неупругого сопротивления.** Полученные расчетные зависимости (13) и (15) для системы с линейным вязким трением, т.е. при функции неупругого сопротивления  $f\left(u, \frac{du}{dt}\right)$  вида (2), можно применить также в случае других ее видов при использовании энергетического подхода к определению декремента  $\delta$  через коэффициент поглощения  $\psi = 2\delta$ .

Коэффициент  $\psi$ , или относительное рассеяние энергии за цикл резонирующей гармоники  $u(t) = A_2 \sin \varphi$ , где  $\varphi = \omega_0 t - \gamma_2$ , является функцией частоты  $\omega_0$  и амплитуды  $A_2$ ,

$$\psi(\omega_0, A_2) = \frac{\int_0^{2\pi} f(A_2 \sin \varphi, \omega_0 A_2 \cos \varphi) \cos \varphi d\varphi}{0,5\omega_0^2 A_2}. \quad (16)$$

Рассмотрим наиболее характерные виды неупругого сопротивления, для которых функции  $f\left(u, \frac{du}{dt}\right)$  и соответствующие им значения коэффициента поглощения приведены в таблице.

**Виды неупругого сопротивления и соответствующие им значения коэффициента поглощения**

Вид неупругого сопротивления	$f\left(u, \frac{du}{dt}\right)$	$\psi(\omega_0, A_2)$
Нелинейное вязкое трение	$2h_n \left  \frac{du}{dt} \right ^{n-1} \frac{du}{dt}$	$8h_n \omega_0^{n-2} A_2^{n-1} \phi(n)$ $\phi(n) = 2 \int_0^{\pi/2} \cos^{n+1} \varphi d\varphi$
Эллиптическая петля гистерезиса	$\omega_0^2 \frac{k}{\pi} A_2^n \sqrt{1 - \frac{u^2}{A_2^2}} \operatorname{sign} \frac{du}{dt}$	$2k A_2^{n-1}$
Гипотеза Давиденкова ( $n > 1$ )	$\mp \omega_0^2 \frac{\eta}{n} [(A_2 \pm u)^n - 2^{n-1} A_2^n]$	$\frac{2^{n+2} (n-1) \eta_n}{n(n+1)} A_2^{n-1}$

Как видно, для всех видов неупругого сопротивления характерна амплитудная зависимость коэффициента поглощения, которую удобно представить единой зависимостью, соответствующей эллиптической петле гистерезиса при условии

$$k = 4h_n \omega_0^{n-2} \phi(n) = \frac{2^{n+1} (n-1) \eta_n}{n(n+1)}. \quad (17)$$

Используя выражения (13)–(15) при замене  $\delta = \frac{1}{2} \psi(\omega_0, A_2)$ , найдем следующие единые формулы для определения вибродиагностического параметра  $\bar{A}_2$  и амплитуды резонирующей гармоники  $A_2 = \bar{A}_2 A_1$ :

$$\bar{A}_2 = \sqrt[n]{0,58 \frac{\alpha}{k} \left( \frac{3\omega_0^2}{4q} \right)^{n-1}}; \quad A_2 = \sqrt[n]{0,7733 \frac{\alpha q}{k \omega_0^2}} \quad (18)$$

в случае слабого и

$$\bar{A}_2 = n+1 \sqrt{0,5256 \frac{\alpha}{k} \left(\frac{3\omega_0^2}{4q}\right)^{n-1}}; \quad A_2 = n+1 \sqrt{0,9344 \frac{\alpha}{k} \left(\frac{q}{\omega_0^2}\right)^2} \quad (19)$$

в случае сильного супергармонического резонанса.

Формулы для слабого резонанса следует использовать только при

$$\frac{\alpha}{k} < \frac{0,5256^n}{0,58^{n+1}} \left(\frac{4\omega_0^2}{3q}\right)^{n-1}. \quad (20)$$

При  $n = 1$  и соответственно  $k \equiv \delta$  имеем ранее приведенное условие  $\alpha/\delta < 1,56$ .

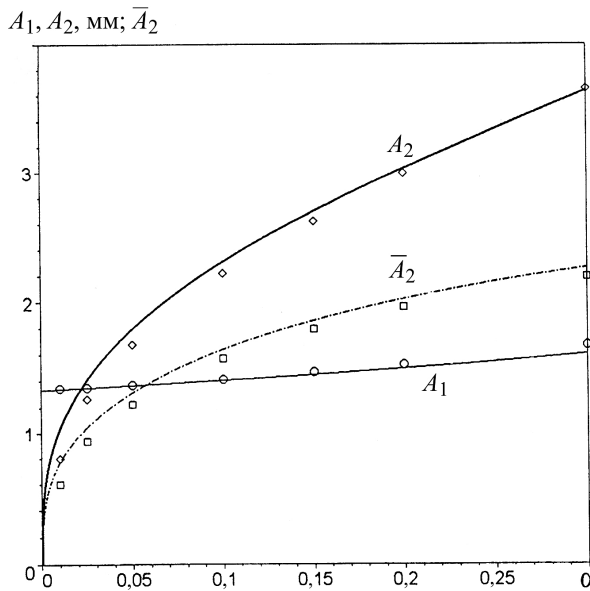


Рис. 4. Зависимость амплитуды первой гармоники  $A_1$ , абсолютной  $A_2$  и относительной  $\bar{A}_2$  амплитуды резонирующей гармоники от параметра  $\alpha$  для случая нелинейного вязкого трения ( $n = 2$ ).

Оценим достоверность полученных зависимостей на примере сильного резонанса системы с нелинейным вязким трением при  $n = 2$ , т.е. при  $k = 4h_2\phi(2)$  и

$$\bar{A}_2 = 0,423 \sqrt{\frac{\alpha\omega_0^2}{h_2q}}; \quad A_2 = 0,563 \sqrt{\frac{\alpha q^2}{h_2\omega_0^4}}. \quad (21)$$

На рис. 4 для случая  $\omega = 1 \text{ с}^{-1}$ ,  $q = 1 \text{ мм/с}^2$  и  $h_2 = 0,0016 \text{ мм}^{-1}$  представлены расчетные зависимости  $A_1$ ,  $A_2$  и  $\bar{A}_2$  от параметра  $\alpha$  и данные численного решения уравнения (1). Как видно, имеет место хорошее согласование результатов. При этом численные решения подтверждают следующую из формул (21) независимость амплитуд  $\bar{A}_2$  и  $A_2$  от абсолютных значений  $\alpha$  и  $h_2$ , а также  $q$  и  $\omega$  при сохранении постоянным их отношения.



Для наглядного представления влияния амплитудной зависимости коэффициента поглощения (16) на вибродиагностический параметр наличия закрывающейся трещины  $\bar{A}_2$  рассмотрим результаты расчета при выборе параметра  $k$  (17) из условия равенства максимальной амплитуды колебаний при основном резонансе ( $\nu = \omega_0$ ) таковой при линейном вязком трении:

$$k = 2^n \pi h^n \frac{\omega_0^{n-2}}{q^{n-1}}. \tag{22}$$

В этом случае при какой-либо амплитуде возбуждающей силы  $q$  с использованием (18) и (19) находим

$$\bar{A}_2 = \frac{3\omega_0}{8h} \sqrt[n]{0,2462\alpha} \tag{23}$$

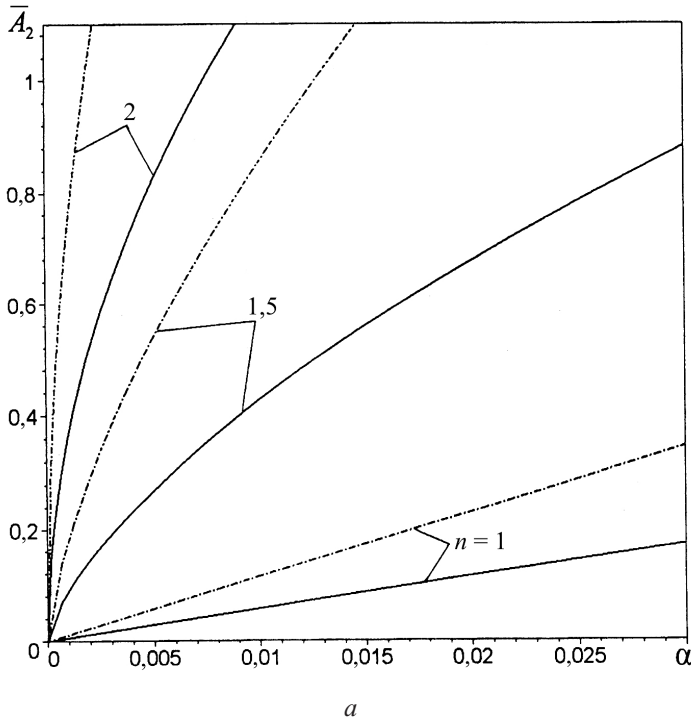
для слабого и

$$\bar{A}_2 = \frac{3\omega_0}{8h} \sqrt[n+1]{0,5949\alpha \frac{h}{\omega_0}} \tag{24}$$

для сильного суперрезонанса.

При  $n = 1$  и соответственно  $h/\omega_0 = \delta/(2\pi)$  получим одну из формул (13) или (15) при условии использования последней при  $\alpha/\delta < 1,56$ .

В качестве примера на рис. 5 показаны расчетные зависимости  $\bar{A}_2(\alpha)$  по формулам (23) и (24) при разных значениях  $n$  и  $h/\omega_0$ . Как видно, при наличии амплитудной зависимости декремента колебаний, характерной для элементов конструкций из металлических материалов ( $n > 1$ ), чувствительность параметра  $\bar{A}_2$  существенно возрастает с увеличением показателя степени  $n$ .



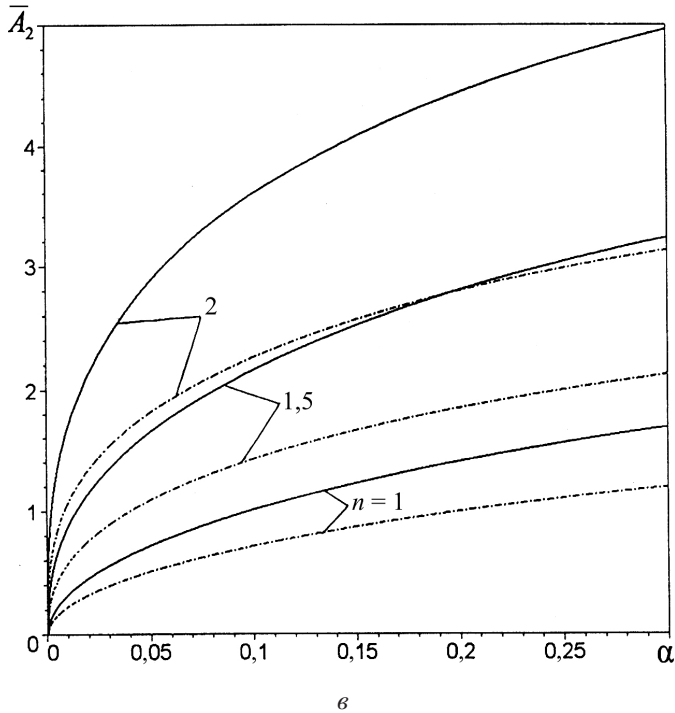
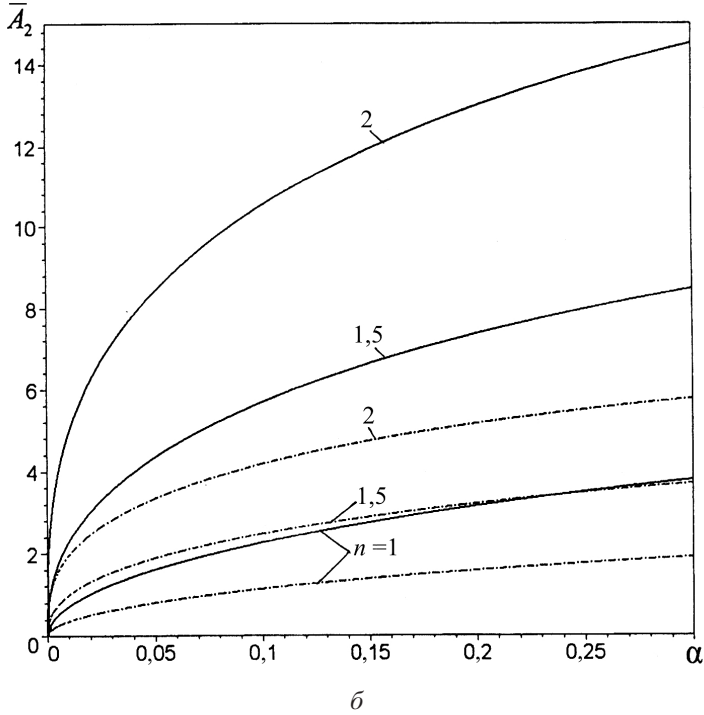


Рис. 5. Зависимость относительной амплитуды резонирующей гармоники  $\bar{A}_2(\alpha)$ , рассчитанная по формулам (23) – (а) и (24) – (б, в) при разных значениях  $n$  и  $h/\omega_0$ : а –  $h/\omega_0 = 0,008$  (штрихпунктирные линии),  $0,016$  (сплошные линии); б –  $h/\omega_0 = 0,0016$  (сплошные линии),  $0,0064$  (штрихпунктирные линии); в –  $h/\omega_0 = 0,008$  (сплошные линии),  $0,016$  (штрихпунктирные линии).

По-видимому, определенный интерес может представить сравнение чувствительности вибродиагностических параметров наличия трещины при исследуемом супергармоническом резонансе ( $\bar{A}_2$ ) и рассмотренном ранее субгармоническом резонансе порядка 1/2, т.е. при  $\nu = 2\omega_0$  ( $\bar{A}_{1/2}$ ) [2]. Параметр  $\bar{A}_{1/2}$ , равный отношению амплитуд первой резонирующей гармоники и основной гармоники вынужденных колебаний, определяется при принятом условии (22) по формуле

$$\bar{A}_{1/2} = \frac{2\alpha(1+0,6\alpha)\omega_0 \left( \frac{9\pi}{4\alpha(1+0,6\alpha)} \right)^{(n-1)/n}}{3\pi h \sqrt{1 + \left[ \frac{3\omega_0}{4h} \left( \frac{4\alpha(1+0,6\alpha)}{9\pi} \right)^{(n+1)/n} \right]^2}}. \quad (25)$$

На рис. 6,а в качестве примера приведены зависимости  $\bar{A}_2$  и  $\bar{A}_{1/2}$  от параметра  $\alpha$  при разных показателях степени  $n$  и  $h/\omega_0 = 0,0064$ . Как видно, при всех значениях  $n$  более чувствительным является параметр  $\bar{A}_{1/2}$ . Однако картина существенно меняется, если рассматривать не амплитуды перемещения  $A$ , а ускорения  $A^a$ , так как в этом случае  $\bar{A}_2^a = 4\bar{A}_2$ , а  $\bar{A}_{1/2}^a = \frac{1}{4}\bar{A}_{1/2}$  (рис. 6,б). При этом отношение абсолютных значений амплитуд резонирующих гармоник при супер- ( $A_2$ ) и субгармоническом ( $A_1$ ) резонансах не изменяется:

$$\frac{A_2^a}{A_1^a} = \frac{A_2}{A_1} = 4 \frac{\bar{A}_2}{\bar{A}_{1/2}} = \frac{1}{4} \frac{\bar{A}_2^a}{\bar{A}_{1/2}^a}.$$

**О связи интегральной характеристики повреждения  $\alpha$  с параметрами трещины в упругом теле.** В качестве примера рассмотрим изгибные колебания консольной балки прямоугольного поперечного сечения с краевой поперечной трещиной при возбуждении супергармонического резонанса 2-го порядка первой формы колебаний сосредоточенной гармонической силой, приложенной к ее свободному концу (рис. 7). Параметр  $\alpha$  определим через энергетическую характеристику повреждения балки  $\kappa$ :

$$\alpha = \frac{\kappa}{1+\kappa}, \quad (26)$$

зависимость которой от относительной глубины трещины  $\gamma = a/h$  при данном ее местоположении  $x_T$  согласно [3] можно записать в виде

$$\kappa = 6\pi H \left( \frac{d^2 y_1}{dx^2} \right)_{x=x_T} \frac{\sum_{i=1}^N \left( \frac{d^2 y_i}{dx^2} \right)_{x=x_T}}{\int_0^l \left( \frac{d^2 y_1}{dx^2} \right)_{x=x_T}} B_1(\gamma), \quad (27)$$

где

$$B_1(\gamma) = 0,078[(1-\gamma)^{-2} + 0,5(1-\gamma)^4 - 1,5]; \quad (28)$$

$y_i$  – амплитудная функция прогиба цельной балки по  $i$ -й форме вынужденных колебаний при частоте возбуждения  $\nu$ , равной половине первой собственной частоты балки  $\omega_1$  ( $\nu = (1/2)\omega_1$ ),

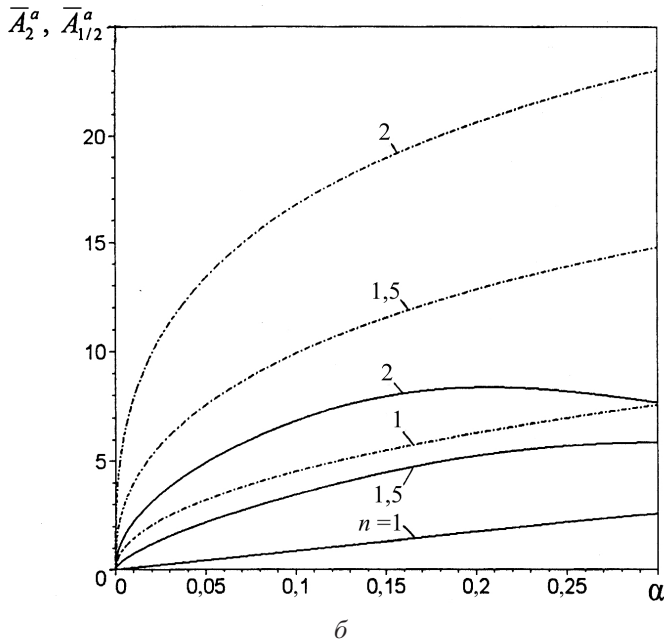
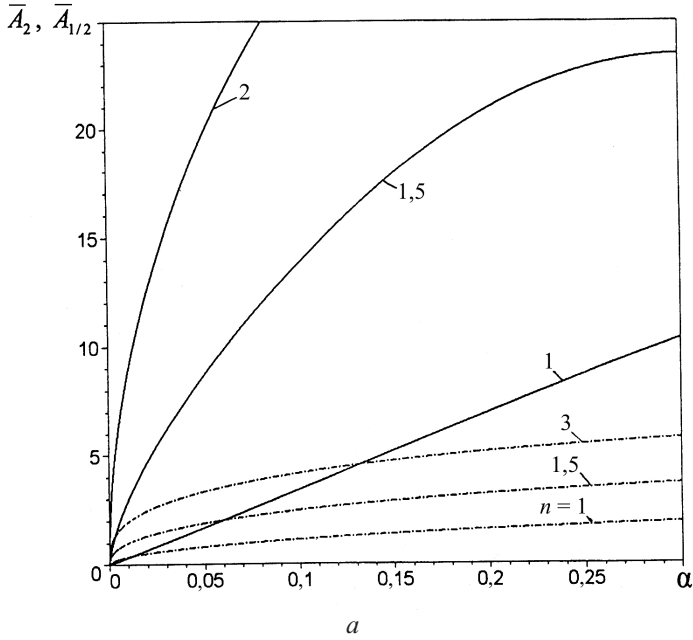


Рис. 6. Зависимость  $\bar{A}_2$ ,  $\bar{A}_{1/2}$  (а) и  $\bar{A}_2^a$ ,  $\bar{A}_{1/2}^a$  (б) от параметра  $\alpha$  при  $h = 0,0064$  и разных значениях показателя степени  $n$  ( $\bar{A}_2$  и  $\bar{A}_2^a$  показаны штрихпунктирными линиями).

$$y_i(x) = \frac{Pl^4}{EI(k_1l)^4} X_i(l)X_i(x)\beta_i; \tag{29}$$

$$X_i(x) = \sqrt{l^{-1}} \left[ (\operatorname{ch} k_i x - \cos k_i x) - \frac{(\operatorname{ch} k_i l + \cos k_i l)}{(\operatorname{sh} k_i l + \sin k_i l)} (\operatorname{sh} k_i x - \sin k_i x) \right];$$

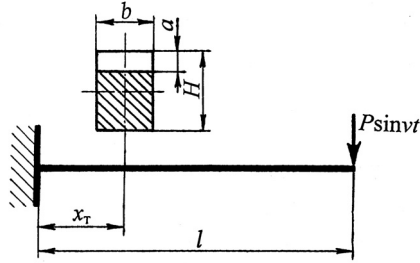


Рис. 7. Схема консольной балки с краевой поперечной трещиной.

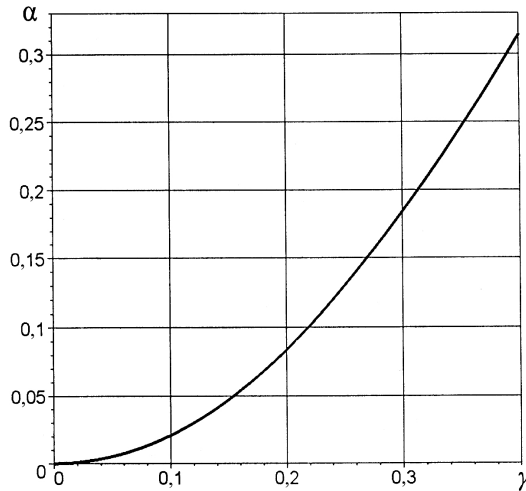


Рис. 8. Зависимость параметра нелинейности балки  $\alpha$  от относительной глубины трещины  $\gamma$  при  $x_T = 0,1l$ .

$$\beta_i = \left[ \left( \frac{k_i l}{k_1 l} \right)^4 - \frac{1}{4} \right]^{-1};$$

$k_i l$  –  $i$ -й корень частотного уравнения;  $k_1 l = 1,875$ .

На рис. 8 показана соответствующая формуле (27) зависимость  $\alpha(\gamma)$  для балки при  $H = 0,5$  м,  $l = 6$  м и  $x_T = 0,1l$ .

В заключение определим зависимость вибродиагностического параметра наличия трещины в балке  $\bar{A}_{2b}$  от  $\alpha$  и  $\gamma$ . Найденное по (26), (27) значение  $\alpha$  для конкретных  $\gamma$  и  $x_T$  может быть использовано в любой из формул для  $\bar{A}_2$ , но при некотором их уточнении. Это обусловлено тем, что приведенные формулы получены из рассмотрения системы с одной степенью свободы, которая моделирует упругое тело при его колебаниях по одной интересующей  $j$ -й резонирующей собственной форме. В этом случае гармоника основных вынужденных колебаний, как и резонирующая гармоника, соответствует колебаниям тела только по этой форме. В результате этого в отношении  $A_2/A_1 = \bar{A}_2$  амплитуда  $A_1$  определяет значение амплитудной функции  $y_j(x)$  в каком-либо выбранном сечении  $x = x_0$ . А гармоника основных вынужденных колебаний балки включает ее деформирование по всем возбуждаемым на этой частоте формам колебаний, т.е. амплитуда  $A_1$  соответствует суммарному прогибу в данном сечении  $\sum_{i=1}^N y_i(x_0)$ .

Поэтому определяемые по приведенным ранее формулам для  $\bar{A}_2$  значения  $\bar{A}_{2b}$  следует скорректировать введением множителя  $y_j(x_0) / \sum_{i=1}^N y_i(x_0)$  и в рассматриваемом примере балки ( $j = 1$ ):

$$\bar{A}_{2b} = \bar{A}_2 \frac{y_1(x_0)}{\sum_{i=1}^N y_i(x_0)}. \tag{30}$$

Заметим, что в формулах (18), (19), в отличие от (13), (15) для линейного вязкого трения или амплитудно-независимого рассеяния энергии ( $n = 1, k = \delta$ ) значение параметра  $\bar{A}_2$  определяется не только величинами  $\alpha$  и  $k$ , но и отношением  $q/\omega_0^2$ , где  $q = P/m$ ,  $m$  – масса единицы длины балки;  $\omega_0$  – круговая собственная частота в данном случае первой, резонирующей формы колебаний, вычисляемая по формуле (4) при  $\omega \equiv \omega_1 = \frac{(k_1 l)^4}{l^4} \sqrt{\frac{EI}{m}}$ .

На рис. 9 представлена полученная с использованием формул (21) и (30) зависимость вибродиагностического параметра  $\bar{A}_{2b}$  от параметра  $\alpha$  и относительной глубины трещины  $\gamma$  в балке, соответствующая показанной на рис. 8 связи между параметрами  $\alpha$  и  $\gamma$ , в случае нелинейного вязкого трения ( $n = 2$ ) при  $h_2 q/\omega_1^2 = 0,0016$  и  $0,008$ . Там же приведены зависимости для линейного вязкого трения при  $h/\omega_0 = 0,0016$ . Выделенные на рис. 9 для этого случая точки на уровне значений  $\gamma = 0,1$  и  $0,2$  соответствуют данным численного решения, полученного с использованием конечноэлементной модели стержня с закрывающейся трещиной [7].

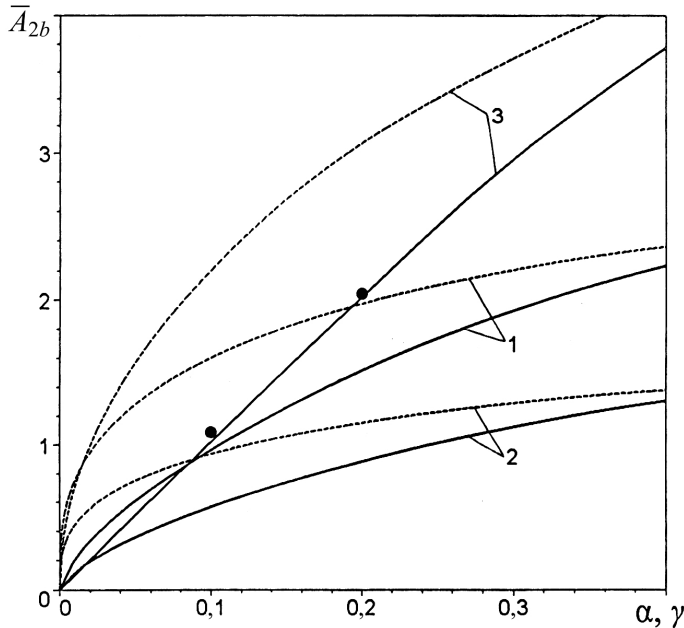


Рис. 9. Расчетная зависимость  $\bar{A}_{2b}$  от параметра  $\alpha$  (штриховые линии) и относительной глубины  $\gamma$  (сплошные линии) краевой поперечной трещины в балке при  $h_2 q/\omega_1^2 = 0,0016$  (1),  $0,008$  (2) и  $h/\omega_0 = 0,0016$  (3).

**Заключение.** Рассмотрены стационарные режимы колебаний при супергармоническом резонансе 2-го порядка нелинейной одномассовой модели упругого тела с закрывающейся трещиной. С использованием прямого способа удовлетворения дифференциального уравнения колебаний системы на полупериодах преобладающей гармонике установлены в явном виде простые зависимости вибродиагностических параметров наличия трещины от характеристик нелинейности и демпфирующей способности колебательной системы при различного вида неупругом сопротивлении. Результаты приближенного аналитического решения подтверждены данными численного решения дифференциального уравнения колебаний системы. На примере колебаний консольной балки с краевой поперечной трещиной показаны методы определения связи используемой интегральной характеристики нелинейности системы с размером и местоположением трещины и установления зависимости вибродиагностического параметра от относительной глубины трещины.

## Резюме

Розглянуто методи наближеного визначення вібродіагностичних параметрів наявності тріщини втомленості нормального відриву, що закривається, у пружному тілі з урахуванням різного виду непружного опору за супергармонічного резонансу 2-го порядку.

1. *Матвеев В. В., Богинич О. Е.* К вопросу приближенного определения вибродиагностического параметра нелинейности упругого тела, обусловленной наличием дышащей трещины, при субгармоническом резонансе // Пробл. прочности. – 2012. – № 3. – С. 37 – 49.
2. *Матвеев В. В., Богинич О. Е.* Влияние неупругого сопротивления на колебания упругого тела с закрывающейся трещиной при основном и субгармоническом резонансах // Там же. – 2014. – № 1. – С. 5 – 24.
3. *Матвеев В. В., Яковлев А. П., Богинич О. Е., Синенко Е. А.* Приближенное аналитическое определение вибродиагностических параметров наличия закрывающейся трещины в стержневых элементах при субгармоническом резонансе // Там же. – 2014. – № 3. – С. 21 – 37.
4. *Матвеев В. В.* Приближенное аналитическое определение вибродиагностических параметров нелинейности упругих тел, обусловленной наличием закрывающейся трещины. Сообщ. 1. Существующие и предлагаемый методы решения // Там же. – 2004. – № 4. – С. 5 – 20.
5. *Матвеев В. В., Богинич О. Е.* Приближенное аналитическое определение вибродиагностических параметров наличия трещины в упругом теле при супергармоническом резонансе // Там же. – 2010. – № 4. – С. 5 – 19.
6. *Мудров А. Е.* Численные методы для ПЭВМ в языках Паскаль, Фортран и Бейсик. – Томск: МП “Раска”, 1991. – 271 с.
7. *Бовсуновский А. П., Бовсуновский О. А.* Использование нелинейных резонансов для диагностики закрывающихся трещин в стержневых элементах // Пробл. прочности. – 2010. – № 3. – С. 125 – 141.

Поступила 24. 03. 2014